

## شبکه های عصبی به عنوان یک تقریبگر غیرخطی در طراحی کنترل پیوسته حلقه بسته در موشک های آشیانه یاب

ناصر رهبر<sup>۱</sup> \* محسن بهرامی<sup>۲</sup>  
دانشیار

دانشکده مهندسی مکانیک، دانشگاه صنعتی امیرکبیر

محمد باقر منهاج<sup>۳</sup>  
دانشیار

دانشکده مهندسی برق، دانشگاه صنعتی امیرکبیر

### چکیده

امروزه قانون معروف هدایت و ناوی بری مناسب (PNG) گاربرد وسیعی در موشک های هدایت شونده دارد. برای به دست آوردن این قانون معادلات غیرخطی حرکت موشک با فرضیات ساده کننده، به معادلات خطی تبدیل شده و سپس با استفاده از قوانین کنترل پیوسته، قانون PNG به دست خواهد آمد. در سیستم های غیرخطی همانند موشک های آشیانه یاب، امکان پذیر نیست و همگرایی روش های عددي جهت به دست آوردن فرمان کنترل پیوسته در سیستم های غیرخطی همانند موشک های آشیانه یاب، امکان پذیر نیست و همگرایی روش های عددي جهت به دست آوردن موشک ها مناسب نیستند. در این مقاله دیدگاه جدیدی به منظور دستیابی به قانون کنترل پیوسته حلقه بسته در موشک های آشیانه یاب، مطرح می گردد. انگیزه این دیدگاه از شبکه های عصبی مصنوعی گرفته شده است. در این روش نیازی به خطی نمودن معادلات نیست. در روش جدید سعی بر آن است که قانون حلقه بسته متغیرهای حالت، به وسیله تقریب گرهای غیرخطی بدست آید. شبکه های عصبی با الگوریتم پس انتشار خطأ به عنوان روش مؤثر در تقریب نگاشت های غیرخطی نامعلوم شناخته شده می باشدند. بدین منظور ابتدا معادلات کنترل پیوسته حلقه باز به صورت عددی حل شده و داده های حاصل جهت آموزش شبکه عصبی پیشخور چند لایه مورد استفاده قرار می گیرند. سپس شبکه به عنوان مولد فرمان کنترل پیوسته حلقه بسته در سناریوی تعقیب به کار گرفته می شود. جزئیات و سودمندی این دیدگاه برای ساریوهای مختلف نشان داده است. نتایج شبیه سازی نشان می دهد که، امکان به دست آوردن قانون کنترل پیوسته حلقه بسته در موشک های آشیانه یاب به وسیله شبکه عصبی وجود دارد.

## Neural Networks as a Nonlinear Approximator for Closed - Loop Optimal Guidance in Homing Missiles

N. Rahbar

M. Bahrami

Amirkabir University of Technology,  
Mechanical Engineering Department

Amirkabir University of Technology,  
Mechanical Engineering Department

M. B. Menhaj

Amirkabir University of Technology,  
Electrical Engineering Department

## Abstract

A new approach is described for closed - loop optimal guidance with the use of neural networks . In this paper exact open - loop optimal data are used to generate closed - loop optimal guidance law in homing missiles. The neural networks guidance (NNG) law is then used effectively in a real - time feedback guidance method. The details and efficacy of this approach will be demonstrated for different scenarios with comparison of trajectories obtained by the optimal, neural and proportional navigation guidance solutions. Simulation results show that the NNG method can efficiently produce optimal feedback trajectories in spite of its relatively simple architecture and the performance of the NNG is significantly superior over the proportional navigation in most simulation runs.

## Key Words

Homing Missiles; Proportional Navigation Guidance; Optimal Control; Neural Networks.

## کلید واژه

موشک های هدایت شونده - هدایت و ناوبری متناسب  
- کنترل بهینه - شبکه های عصبی .

## ۱- مقدمه

با استفاده از قانون هدایت بهینه، مoshک در مسیر پروازی معینی قرار می گیرد تا هدف تعیین شده به دست آید. برای به دست آوردن قانون هدایت از تئوری کنترل بهینه استفاده می شود. در هر حال سودمندی کنترل بهینه به دو طبقه بندی متفاوت از سیستم های دینامیکی یعنی سیستم های خطی و غیرخطی بستگی دارد. در سیستم های خطی در حالتی که تابع معیار (Performance Index) از درجه دوم باشد، قانون حلقه بسته را می توان به دست آورد. أما در سیستم های غیرخطی، در موارد استثنایی حل کامل حلقه بسته وجود دارد و بهترین کاری که می توان انجام داد، به دست آوردن قانون هدایت حلقه باز به روش عددی و با استفاده از نرم افزارهای مخصوص می باشد [۱] .

در حل حلقه باز، فرمان کنترل، صریحاً به صورت تابعی از متغیرهای حالت سیستم در هر لحظه بیان نمی شود. معروف است که یک سیستم با فرمان کنترل حلقه باز در مقابل نویز و اغتشاشات خارجی حساس می باشد. در مقابل، در یک کنترل حلقه بسته، که در آن کنترل به صورت تابعی از متغیرهای حالت سیستم بیان می شود، عموماً در مقابل چنین اغتشاشاتی مقاوم خواهد بود. اگر چه امروزه قانون هدایت بهینه حلقه باز برای

سیستم های غیرخطی با کمک روش های عددی پیشرفته و کامپیوتراهای دیجیتال سریع به دست می آیند، اما اشکال عده روشن های بهینه سازی عددی آن است که، در اثربخشی سری عملیات تکراری که منجر به کاهش تابع معیار می شود، به کنترل همگرا می شوند. همچنین دینامیک پیچیده و غیرخطی مoshک ها امکان بکارگیری کنترل بهینه حلقه باز را به صورت همزمان بسیار مشکل و یا غیر ممکن می سازد. در هر صورت حل حلقه بسته برای سیستم های غیرخطی پیچیده همانند مoshک ها در صورت وجود، نسبت به کل حل های موجود برتری دارد. در این حالت نیازی به استفاده از فرض های ساده کننده همانند ساده نمودن مدل دینامیکی و یا صرفنظر نمودن از قیود محدود کننده نیست.

در این مقاله، ابتدا مسئله بهینه تعقیب صفحه ای تعریف می شود. برای این مسئله حل عددی در حالت حلقه باز به دست می آید. از آنجایی که همگرایی الگوریتم های عددی به کنترل صورت می پذیرد، لذا بکارگیری همزمان این حل امکان پذیر نیست. در مسائل عملی، مسئله تعقیب غیرخطی با فرضیات ساده کننده، به مسئله خطی تبدیل شده و حل حلقه بسته به صورت هدایت و ناوبری متناسب که امروزه کاربرد وسیعی در مoshک ها دارد نتیجه می شود. أما با توجه به اینکه در حالت غیر خطی، حل چندان آسان نیست، از روش دیگری برای حل مسئله کمک گرفته می شود. انگیزه این دیدگاه از شبکه های عصبی مصنوعی به دست می آید.

$$J = [\phi + v^T \psi]_{t=t_0} + \int_{t_0}^{t_f} \{L(x, u, t) + \lambda^T [f(x, u, t) - \dot{x}]\} dt \quad (2-4)$$

سپس تابع هامیلتونی به صورت زیر تعریف می شود:

$$H = L(x, u, t) + \lambda^T f(x, u, t) \quad (2-5)$$

مجموعه شرایط لازم برای ایستاد بودن  $J$  به ترتیب زیر

بیان می شود [۲]:

$$\dot{x} = f(x, u, t) \quad (2-6) \quad (\text{معادلات حالت})$$

$$\dot{\lambda} = -(\frac{\partial H}{\partial x})^T = -(\frac{\partial f}{\partial x})^T \lambda - (\frac{\partial L}{\partial x})^T \quad (2-7) \quad (\text{معادلات کمک حالت})$$

$$0 = (\frac{\partial H}{\partial u})^T = (\frac{\partial f}{\partial u})^T \lambda + (\frac{\partial L}{\partial u})^T \quad (2-8) \quad (\text{شرط بھینه بودن})$$

$$x_k(t_0) = X_0 \quad \text{یا} \quad \lambda_k(t_0) = 0 \quad (2-9) \quad (\text{شرط اولیه})$$

$$\lambda(t_f) = (\frac{\partial \phi}{\partial x} + v^T \frac{\partial \psi}{\partial x})_{t=t_f} \quad (2-10) \quad (\text{شرط تعامد})$$

$$\Omega = [\frac{\partial \phi}{\partial t} + v^T \frac{\partial \psi}{\partial t} + (\frac{\partial \phi}{\partial x} + v^T \frac{\partial \psi}{\partial x}) f + L]_{t=t_f} = 0 \quad (2-11)$$

$$\psi[x(t_f), t_f] = 0 \quad (2-12) \quad (\text{قيود انتهائي})$$

در ارتباط با ارضاء نمودن قيود انتهائي (۲-۳) از روش دیگری که در حل عددی سهولت ایجاد می نماید، استفاده می گردد. در این روش معادلات (۲-۲) (۲-۳) (۲-۴) صرفنظر شده و به جای آن جمله ای به صورت  $\psi^T Q \psi$  به  $\phi$  اضافه می گردد. در این حالت معادلات (۲-۳) به جای اینکه به طور دقیق ارضاء شوند، به صورت تقریبی ارضاء می شوند. در عبارت اخیر  $Q$  ماتریس قطری با عنصر مثبت بزرگ می باشد [۳]:

شرط بھینه بودن (۲-۸)،  $m$  بردار ( $t$ )  $v$  را معین می کند. حل  $2n$  معادلات دیفرانسیل (۲-۶) و (۲-۷)

شبکه های عصبی مصنوعی، آموزش پذیر بوده و در آنها حجم زیادی از محاسبات به صورت موازی انجام می پذیرد. به همین دلیل به طور موفقیت آمیزی در وظایف مختلفی از جمله بھینه سازی به کار گرفته شده است. در دیدگاه جدید سعی بر آن است که قانون حلقه بسته متغیرهای حالت به وسیله تقریب گرهای غیرخطی به دست آید. شبکه های عصبی با الگوریتم پس انتشار خطأ به عنوان روش مؤثر در تقریب نگاشت های غیرخطی نامعلوم شناخته شده اند. این الگوریتم بھینه سازی براساس قاعده شبیب نزولی عمل می نماید. از آنجایی که تعداد المان های پردازش کننده در شبکه های عصبی زیاد بوده و این المان ها دارای ارتباطات بینابین می باشند. لذا شبکه های عصبی در مقابل اشکالات بوجود آمده مقاوم بوده و خرابی و مشکل تعداد محدودی از المان ها و یا اتصال بین آنها تأثیر چندانی در راندمان کلی نخواهد داشت.

### ۳ - بھینه سازی در سیستم های دینامیکی

برنامه ریزی بھینه در سیستم های دینامیکی پیوسته شامل مسائل حساب تغییرات (Calculus - of - Variations) می باشند. فرض می شود که سیستم دینامیکی با معادلات دیفرانسیل زیر بیان شود:

$$\dot{x} = f[x(t), u(t), t], \quad t_0 \leq t \leq t_f \quad (2-1)$$

که در آن  $x(t)$  تابع برداری با  $n$  مؤلفه و  $u(t)$  فرمان کنترل بوده که یک تابع برداری با  $m$  مؤلفه می باشد. تابع معیار (اسکالر) به صورت زیر در نظر گرفته می شود:

$$J = \phi[x(t_f), t_f] + \int_{t_0}^{t_f} L[x(t), u(t), t] dt \quad (2-2)$$

اگر قیودی به صورت توابعی از متغیرهای حالت در زمان نهایی نامشخص (شامل مسائل کمترین زمان) به صورت زیر موجود باشند:

$$\psi[x(t_f), t_f] = 0 \quad (2-3) \quad (\psi \text{ یک تابع برداری با } q \text{ مؤلفه است})$$

آنگاه قیود و معادلات دیفرانسیل حالت سیستم، با ضرایب لاگرانژی  $\lambda(t)$  به تابع معیار افزوده می شوند:

یعنی:

$$u^0 = u^0(x) \quad (3-2)$$

به دست آوردن قانون کنترل حلقه باز برای سیستم‌های غیرخطی به ندرت امکان پذیر است. اما در سیستم‌هایی که بتوان با فرضیات ساده کننده آنها را به قدر کافی به صورت خطی در آورد، می‌توان قانون کنترل حلقه باز را با انتخاب تابع معیار و قیود مناسب به دست آورد [۲].

#### ۴- معادلات حرکت در تعقیب صفحه‌ای و حل حلقه باز با استفاده از قوانین کنترل بهینه

هندسه استفاده شده در مسئله تعقیب صفحه‌ای در شکل ۱ نمایش داده شده است. مختصات XY نشانگر یک مرجع اینرسی است. و محور X در لحظه  $t = 0$  در امتداد خط دید (LOS) قرار دارد. در این لحظه هدف در  $X_T = X_0$  قرار داشته و با سرعت ثابت در امتداد خطی که زاویه  $\beta$  با محور X می‌سازد، حرکت می‌کند. اندازه سرعت موشک ثابت بوده و با زاویه اولیه  $\theta_0$  نسبت به محور X پرتاب می‌شود. جهت سرعت  $(t)$  به وسیله شتاب  $a_n(t)$  که عمود بر جهت سرعت است، تغییر می‌کند. متغیرهای بی بعد زیر در نظر گرفته می‌شوند:

$$\zeta = [(X_T - X_M) / X_0]$$

$$\eta = [(Y_T - Y_M) / X_0]$$

$$\alpha_n = [(a_n X_0) / V_M^2]$$

$$\tau = t (V_M / X_0)$$

$$v = t (V_T / V_M) \quad (4-1)$$

باتوجه به متغیرهای فوق، مسئله کنترل بهینه به صورت زیر تعریف می‌شود:

شتاب نرمال  $(\tau)$   $\alpha_n$  را طوری پیدا کنید که تابع معیار زیر کمینه شود:

$$J = \frac{1}{2} \int_{\tau_0}^{\tau_f} \alpha_n^2 d\tau \quad (4-2)$$

و انتخاب  $1 + q$  پارامتر  $u$  و  $u$  به وسیله  $q + 1 + 2n$  شرط مرزی (۲-۹) تا (۲-۱۲) انجام خواهد شد. در حالت کلی، این مسئله با شرایط مرزی به سادگی قابل حل نیست.

#### ۳- کنترل بهینه حلقه باز و حلقه باز

فرمان کنترلی در کنترل بهینه حلقه باز (Open Loop) به صورت تابعی از زمان، یعنی  $(t)$   $u$  به دست می‌آید. فرمان کنترل از یک حالت اولیه  $(t_0)$   $x$  شروع شده و به سوی ابر سطح (Hypersurface) انتهایی که به وسیله قیود  $0 = f_i(t), g_i(t)$   $x$  تعریف می‌شود، پیش روی می‌کند.

هر نقطه‌ای که به طور مستقیم روی مسیر بهینه بین  $(t_0)$   $x$  و ابر سطح انتهایی باشد، می‌تواند یک نقطه اولیه ممکن برای همان تابع کنترل بهینه قبلی باشد. اما اگر نقطه اولیه ای خارج از مسیر بهینه بین  $(t_0)$   $x$  و ابر سطح انتهایی در نظر گرفته شود، حل قبلی  $(t)$   $u$  قابل استفاده نیست و دوباره پایستی مسئله با شرط اولیه جدید حل شود. در مسائل کنترل اتوماتیک، بیشتر مواقع  $(t)$   $u$  برای تعداد زیادی از نقاط اولیه به ابر سطح انتهایی مورد نیاز می‌باشد. زیرا معلوم نیست سیستم چه موقع و یا از کدام شرط اولیه شروع به کار خواهد کرد. برای غلبه بر این مشکل، خانواده‌ای از مسیرهای بهینه مورد نیاز است تا تمامی نقاط اولیه ممکن را پوشش دهند. در متون حساب تغییرات، چنین خانواده‌ای را میدان مقادیر نهایی (Field of Externals) می‌نامند.

در حالت کلی تنها یک مسیر بهینه از یک نقطه  $(t_0)$   $x$  به ابر سطح انتهایی وجود دارد و یک بردار کنترل بهینه منحصر به فرد  $(t)$   $u$  برای این نقطه وجود خواهد داشت. از اینرو می‌توان نوشت:

$$u^0 = u^0(x, t) \quad (3-1)$$

این قانون به نام قانون کنترل بهینه حلقه باز (Optimal Feedback Control Law) نامیده می‌شود. یعنی بردار کنترل بهینه تابع تابعی از حالت  $(t)$   $x$  و زمان  $t$  داده شده است.

برای سیستم‌های ایستا (Stationary Systems) که در آن، تابع معیار و قیود، توابع صریح از زمان نباشند، توابع کنترل بهینه تابع صریح از زمان نخواهد بود.

معادلات حالت عبارتند از:

$$\dot{\zeta} = v \cos\beta - \cos\theta \quad (4-3)$$

$$\dot{\eta} = v \sin\beta - \sin\theta \quad (4-4)$$

$$\dot{\theta} = \alpha_n \quad (4-5)$$

شرطیت اولیه عبارتند از:

$$\tau_0 = 0, \zeta_0 = 1, \eta_0 = 0 \quad (4-6)$$

اصابت هنگامی صورت می‌پذیرد که:

$$\zeta_f = 0, \eta_f = 0 \quad (4-7) \quad (\text{شرطیت مرزی یا انتهایی})$$

شرطیت مرزی (4-7) به شکل زیر در تابع معیار وارد می‌شود:

$$J = \frac{1}{2} Q (\zeta^2 + \eta^2) + \frac{1}{2} \int_{\tau_0}^{\tau_f} \alpha_n^2 d\tau \quad (4-8)$$

با استفاده از معادلات (4-8) و (4-3) تا (4-5) تابع هامیلتونی  $H$  به صورت زیر تعریف می‌شود [۲]:

$$H = \frac{1}{2} \alpha_n^2 + \lambda_\zeta (v \cos\beta - \cos\theta) + \lambda_\eta (v \sin\beta - \sin\theta) + \lambda_\theta (\alpha_n) \quad (4-9)$$

که در آن  $\lambda_\zeta, \lambda_\eta, \lambda_\theta$  ضرایب لاگرانژی هستند. شرایط لازم برای حل بهینه (معادلات کمک حالت)، عبارتند از:

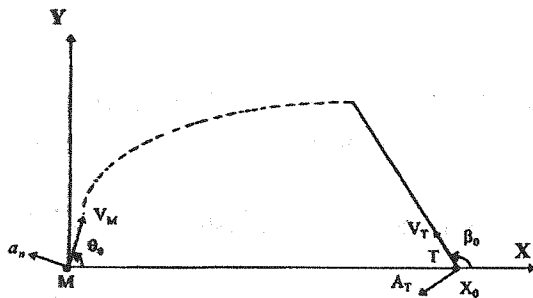
$$\dot{\lambda}_\zeta = -H_\zeta = 0 \quad (4-10)$$

$$\dot{\lambda}_\eta = -H_\eta = 0 \quad (4-11)$$

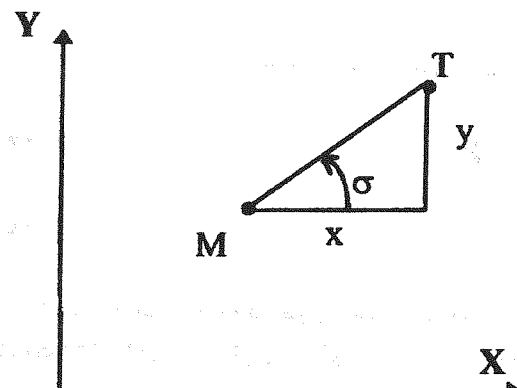
$$\dot{\lambda}_\theta = -H_\theta = -\lambda_\zeta \sin\theta + \lambda_\eta \cos\theta \quad (4-12)$$

$$0 = H_{\alpha_n} = \alpha_n + \lambda_\theta \quad (4-13)$$

معادلات (4-10) و (4-11) بیان می‌کنند که  $\lambda_\eta, \lambda_\theta$  در طول مسیر بهینه ثابت هستند. همچنین با فرض:



شکل (۱) هندسه تعییب موشک و هدف در صفحه.



شکل (۲) زاویه خط دید.

$$\phi = \frac{1}{2} Q (\zeta^2 + \eta^2) \quad (4-14)$$

شرطیت مرزی به صورت زیر در می‌آیند:

$$H_f = -\phi_{ff} = 0 \quad (4-15)$$

$$\lambda \zeta_f = \phi \zeta_f = Q \zeta_f \quad (4-16)$$

$$\lambda \eta_f = \phi \eta_f = Q \eta_f \quad (4-17)$$

$$\lambda_\theta f = \phi_\theta f = 0 \quad (4-18)$$

معادلات (4-13) و (4-18) دلالت دارند که:

$$\alpha_n f = 0 \quad (4-19)$$

از آنجایی که هامیلتون تابع صریح زمان نیست، پس ثابت است و از (4-9) و (4-15) نتیجه می‌شود:

معادلات (4-10) و (4-11) بیان می‌کنند که  $\lambda_\eta, \lambda_\theta$  در طول مسیر بهینه ثابت هستند. همچنین با فرض:

دست آورده. بدین منظور، مقدار اولیه‌ای برای  $\lambda_\eta$  و  $\lambda_\zeta$  اختیار می‌شود. در انتخاب این مقادیر بایستی دقت نمود تا عبارت زیر رادیکال (۴-۲۱) منفی نشود. آنگاه معادلات (۴-۲) تا (۴-۵) به روش عددی انتگرال‌گیری می‌شوند و انتگرال‌گیری در  $V < 0$  پایان می‌پذیرد. سپس مقدار  $\lambda_\zeta$  به صورت زیر اصلاح می‌گردد:

$$\text{Error} = \frac{1}{2} (\zeta_f^2 + \eta_f^2) \quad (4-28)$$

$$\Delta\lambda_\zeta = -\mu \frac{\partial \text{Error}}{\partial \lambda_\zeta} = -\mu \zeta_f \quad (4-29)$$

که در آن  $1 < \mu < 0$  و با توجه به روابط اخیر  $\lambda_\eta$  به صورت زیر اصلاح می‌شوند:

$$\lambda_\zeta^{\text{new}} = \lambda_\zeta^{\text{old}} - \Delta\lambda_\zeta = \lambda_\zeta^{\text{old}} + \mu \zeta_f \quad (4-30)$$

مقدار جدید  $\lambda_\eta$  از رابطه (۴-۲۶) به دست می‌آید. پس از تعیین مقادیر جدید برای  $\lambda_\eta$  و  $\lambda_\zeta$  دوباره عمل انتگرال‌گیری تکرار می‌گردد. پایان کار هنگامی است که شرط (۴-۷) ارضاء شود.

## ۵- به دست آوردن قانون هدایت و ناوبری متناسب از روابط کنترل بینه

در این قسمت معادلات حالت (۴-۳) تا (۴-۵) خطی شده و قانون هدایت بینه به صورت حل حلقه بسته در مختصات دو بعدی به دست می‌آید. برای خطی نمودن معادلات فرض می‌شود که در طول مسیر

$$\sin \theta \approx \theta, \cos \theta \approx 1 \quad (5-1)$$

همچنین هدف دارای بردار سرعت ثابت بوده و لذا زاویه  $\beta$  در طول مسیر ثابت است. در این صورت معادلات حالت (۴-۳) تا (۴-۵) به شکل زیر در می‌آینند:

$$\dot{\zeta} = v \cos \beta - 1 \quad (5-2)$$

$$\dot{\eta} = v \sin \beta - \theta \quad (5-3)$$

$$\dot{\theta} = \alpha_n \quad (5-4)$$

$$H = 0 \quad (4-20)$$

در صورتی که (۴-۹) در معادله (۴-۲۰) جایگزین شود، عبارت زیر برای کنترل بینه به دست می‌آید:

$$\alpha_n = \pm \sqrt{2(a + b \sin \theta + c \cos \theta)} \quad (4-21)$$

$$\text{sign}(\alpha_n) = \text{sign}(-\lambda_\theta) \quad (4-22)$$

که در آن:

$$a = \lambda_\zeta v \cos \beta + \lambda_\eta v \sin \beta \quad (4-23)$$

$$b = -\lambda_\eta \quad (4-24)$$

$$c = -\lambda_\zeta \quad (4-25)$$

با توجه به اینکه  $\lambda_\zeta, \lambda_\eta$  در طول مسیر ثابت هستند، با کمک (۴-۱۹) و (۴-۲۱) رابطه‌ای بین آنها به دست می‌آید:

$$\lambda_\eta = -\frac{\lambda_\zeta (\cos \theta_f - v \cos \beta_f)}{\sin \theta_f - v \cos \beta_f} \quad (4-26)$$

کمترین فرمان کنترل به صورت  $\alpha_n = 0$  به دست می‌آید. در این حالت موشك به طور مستقیم در مسیر برخورد شلیک می‌شود و مسیر بینه به صورت خط راست  $\theta_{SL} = \theta_0 = \text{const}$  است. در دست می‌آید. در صورتی که  $\theta_0 < \theta_{SL}$  باشد، آنگاه در معادله (۴-۲۱) علامت مثبت و اگر  $\theta_0 > \theta_{SL}$  باشد، علامت منفی استفاده می‌شود. مقدار  $\theta_{SL}$  از قانون سینوس‌ها به صورت زیر به دست می‌آید [۲]:

$$\theta_{SL} = \sin^{-1}(v \sin \beta) \quad (4-27)$$

در آخرین مرحله می‌بایست شرایط (۴-۶) ارضاء شوند. همانگونه که از معادله (۴-۲۱) مشاهده می‌گردد، فرمان کنترل، تابعی از متغیرهای  $\lambda_\eta, \lambda_\zeta$  می‌باشد و این متغیرها، بایستی طوری انتخاب شوند که  $\lambda_\eta = 1, \eta_0 = 0$  شود. از آنجایی که معادلات حالت غیرخطی هستند، حل تحلیلی در حالت کلی برای این مسئله وجود ندارد و می‌بایست چوایپ و آتا تکرار متوالی و از طریق عددی، به

$$\eta = (v \sin\beta - \theta(\tau) - \frac{1}{2} Q\eta_f (\tau - \tau_f)^2) (\tau - \tau_f) + \frac{1}{6} Q\eta_f (\tau - \tau_f)^3$$

(5-14)

$$\eta = (v \sin\beta - \theta(\tau)) (\tau - \tau_f) - \frac{1}{3} Q\eta_f (\tau - \tau_f)^3$$

$$-Q\eta_f (\tau - \tau_f) = \frac{3\eta}{(\tau - \tau_f)^2} - \frac{3(v \sin\beta - \theta(\tau))}{(\tau - \tau_f)}$$

حال با استفاده از رابطه (5-9) و رابطه اخیر:

$$\alpha_n = \frac{3\eta}{(\tau - \tau_f)^2} - \frac{3(v \sin\beta - \theta(\tau))}{(\tau - \tau_f)}$$

اکنون با استفاده از رابطه ای برای  $\frac{1}{(\tau - \tau_f)}$  به دست آید. لذا از (5-2) در فاصله  $[\tau_i, \tau_f]$  انتگرال گرفته می شود:

$$\zeta - \zeta_f = (v \cos\beta - 1)(\tau - \tau_f)$$

با استفاده از (4-7) مقدار  $= \zeta$  می باشد. از آنجا:

$$\frac{1}{(\tau - \tau_f)} = \frac{(v \cos\beta - 1)}{\zeta}$$

مقدار رابطه اخیر در (5-17) جایگذاری می شود:

$$\alpha_n = \frac{3\eta}{\zeta^2} (v \cos\beta - 1)^2 - \frac{3(v \sin\beta - \theta(\tau))}{\zeta} (v \cos\beta - 1)$$

$$\alpha_n = 3(1 - v \cos\beta) \left( \frac{(v \sin\beta - \theta)}{\zeta} - \frac{\eta(v \cos\beta - 1)}{\zeta^2} \right)$$

در رابطه (5-21) فرمان کنترل  $\alpha_n$  به صورت تابعی از متغیرهای حالت به دست آمد. پس حل فوق یک حل حلقه پسته می باشد. از معادله اخیر، کنترل متناسب به صورت زیر استخراج خواهد شد.

باتوجه به شکل ۲ رابطه زیر به دست می آید:

$$\tan \sigma = \frac{\eta}{\zeta}$$

که در آن  $\sigma$  زاویه خط دید (Line of Sight) نامیده می شود. با فرض کوچک بودن این زاویه در طول مسیر، یعنی  $\tan \sigma \approx \sigma$  نتیجه می شود که:

تابع هاملیتونی  $H$  به صورت زیر در می آید:

$$H = \frac{1}{2} \alpha_n^2 + \lambda_\zeta (v \cos\beta - 1) + \lambda_\eta (v \sin\beta - \theta) + \lambda_\theta (\alpha_n)$$

معادله (4-12) با استفاده از (5-5) به صورت زیر در می آید:

$$\lambda_\theta = -H_\theta = \lambda_\eta$$

با انتگرال گیری از معادله اخیر در فاصله  $[\tau_i, \tau_f]$  و با دانستن اینکه  $\lambda_\eta$  ثابت است. نتیجه می شود:

$$\lambda_\theta(\tau) = \lambda_\theta(\tau_f) + (\tau - \tau_f) \lambda_\eta$$

از (5-7) و (4-17) و (5-18) نتیجه می شود که:

$$\lambda_\theta(\tau) = (\tau - \tau_f) \lambda_\eta = (\tau - \tau_f) Q\eta_f$$

با استفاده از (5-4) و (4-13) :

$$\dot{\theta} = \alpha_n = -\lambda_\theta = -(\tau - \tau_f) Q\eta_f$$

از رابطه اخیر در فاصله  $[\tau_i, \tau_f]$  انتگرال گرفته می شود:

$$\theta(\tau) = \theta(\tau_f) - \frac{1}{2} Q\eta_f (\tau - \tau_f)^2$$

با جایگذاری رابطه (5-10) در رابطه (5-5) :

$$\dot{\eta}(\tau) = v \sin\beta - \theta(\tau_f) + \frac{1}{2} Q\eta_f (\tau - \tau_f)^2$$

و انتگرال گیری در فاصله  $[\tau_i, \tau_f]$  نتیجه می دهد که:

$$\eta - \eta_f = (v \sin\beta - \theta(\tau_f)) (\tau - \tau_f) + \frac{1}{6} Q\eta_f (\tau - \tau_f)^3$$

از (4-7)، مقدار  $\eta_f = 0$  می باشد. حال از (5-10) مقدار  $\theta(\tau_f)$  حساب شده و در (5-12) قرار می گیرد.

$$\theta(\tau_f) = \theta(\tau) + \frac{1}{2} Q\eta_f (\tau - \tau_f)^2$$

## ۶- شبکه های عصبی مصنوعی

اساس تکنیک استفاده شده در شبکه های عصبی از تئوری معروف کولموجروف (Kolmogorov) که در سال ۱۹۵۷ در روسیه معرفی شد گرفته شده است [۵-۷]. البته وی هیچگونه اطلاعی از شبکه های عصبی نداشت و هنگامی که تئوری فوق معرفی گردید، چون کاربردی بر آن متصور نبود، چندان مورد توجه ریاضی دانان قرار نگرفت ولی بعدها اهمیت تئوری در مفهوم شبکه های عصبی آشکار گردید. به طور کلی یک شبکه عصبی نمایشی از یک نگاشت ریاضی از یک بردار ورودی  $x$  به بردار خروجی  $y$  و به وسیله یک تابع برداری  $f(\cdot)$  یعنی  $y = f(x)$  می باشد. تئوری کولموجروف که در شبکه های عصبی استفاده می شود بیان می کند که می توان هر تابع برداری پیوسته حقیقی:

$$f(\cdot) : x \rightarrow y \text{ where } x \in \mathbb{R}^n, y \in \mathbb{R}^m \quad (6-1)$$

را به وسیله یک شبکه عصبی مصنوعی سه لایه که در لایه اول  $n$  نرون (X-Input Layer) و در لایه میانی  $2n+1$  نرون (Hidden layer) و در لایه آخر  $m$  نرون (Y-Output Layer) قرار داشته باشند، تولید نمود (شکل ۳). ساختار یک شبکه عصبی مصنوعی مشکل از چندین المان ساده و توابع حریک غیرخطی می باشد. یک شبکه عصبی از یک لایه ورودی، یک یا چند لایه مخفی و یک لایه خروجی تشکیل می شود. لایه ورودی به عنوان بافر عمل نموده و معمولاً تابع حریک آن همانند لایه خروجی خطی است. خروجی لایه های داخلی از رابطه زیر به دست می آید:

$$z_j^l = F \left( \sum_{i=1}^{N_l} W_{ij}^l z_i^{l-1} + \theta_j^l \right) \quad j = 1, \dots, N_l \quad (6-2)$$

در رابطه فوق  $z_i^l$  ( $N_1 \times 1$ ) ورودی به شبکه و  $z_j^l$  ( $N_2 \times 1$ ) خروجی های لایه مخفی و  $W_{ij}^l$  ( $N_1 \times N_2$ ) وزن های اتصالات بین گره های ورودی و لایه مخفی و  $\theta_j^l$  با یاس داخلی لایه مخفی می باشد. تابع  $F$  یک تابع غیر خطی پیوسته یکنواخت است. این تابع طوری انتخاب می شود که محدود، مشتق پذیر و غیرنژولی باشد. تابع مختلفی در این رابطه قابل استفاده می باشد، اما معمولاً تابع سیگموئید  $f(s) = 1 / (1 + e^{-s})$  استفاده می گردد. یکی از مزایای این تابع آن است که پیوسته و مشتق پذیر بوده و همچنین

$$\sigma = \frac{\eta}{\zeta} \quad (5-23)$$

از رابطه فوق نسبت به زمان مشتق گرفته می شود:

$$\dot{\sigma} = \frac{\eta \zeta - \eta \dot{\zeta}}{\zeta^2} = \frac{(\eta \sin \beta - \theta)}{\zeta} - \frac{(\eta \cos \beta - 1) \dot{\eta}}{\zeta^2} \quad (5-24)$$

در رابطه بالا به جای مشتقات از (۵-۲) و (۵-۲۱) استفاده شد. با مقایسه رابطه (۵-۲۴) و (۵-۲۱) خواهیم داشت:

$$\alpha_n = 3 (1 - \eta \cos \beta) \dot{\sigma} \quad (5-25)$$

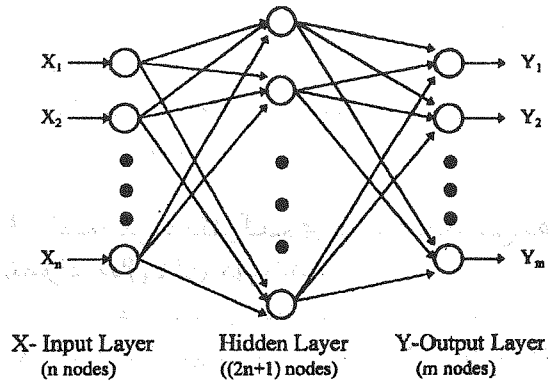
عبارت داخل پرانتز در (۵-۲۵) یک مقدار ثابت است. پس با فرض  $(1 - \eta \cos \beta) = K$  نتیجه می شود:

$$\alpha_n = K \dot{\sigma} \quad (5-26)$$

رابطه (۵-۲۶) همان رابطه معروف هدایت و ناوبری مناسب می باشد. برای هدف ثابت یعنی  $(\dot{\sigma} = 0)$  مقدار  $K = 3$  نتیجه می شود. در برخورد سر به سر مقدار  $K$  طبق رابطه فوق بزرگتر از سه است. در حالتی که هدف متحرک باشد، یعنی  $(\dot{\sigma} \neq 0)$  آنگاه مقدار  $K$  از  $K = 3 (1 - \eta \cos \beta)$  به دست می آید. از آنجایی که سرعت های  $V_M$ ،  $V_T$  در به دست آوردن قانون ناوبری مناسب ثابت فرض شده اند، بنابراین مقدار  $K$  عملاً ثابت خواهد بود. در قانون ناوبری مناسب شتاب اعمال شده به موشک، در ابتدا به صورت (۵-۲۶) در نظر گرفته می شد. اما تحقیقات بعدی نشان داد که، مقدار ثابت برای  $K$  مناسب نیست، لذا رابطه فوق به صورت زیر اصلاح گردید:

$$\alpha_n = KV_c \dot{\sigma} \quad (5-27)$$

که در آن  $V_c$  سرعت نزدیک شدن هدف و موشک و  $\sigma$  شدت چرخش با تغییرات (LOS) و  $K$  ضریب ناوبری مناسب نامیده می شوند. در یک موشک جهت اندازه گیری  $V_c$  از یک رادار دوپلر استفاده می شود و یک جستجوگر (Seaker) هدف را تعقیب (Track) نموده و  $\dot{\sigma}$  را اندازه می گیرد. جهت پایداری سیستم، در طراحی موشک ها معمولاً  $5 \leq K \leq 3$  در نظر گرفته می شود [۴].



شکل (۳) نمایش یک شبکه عصبی پیش خروج.

## ۷- سابقه استفاده از شبکه های عصبی در موشک های هدایت شونده

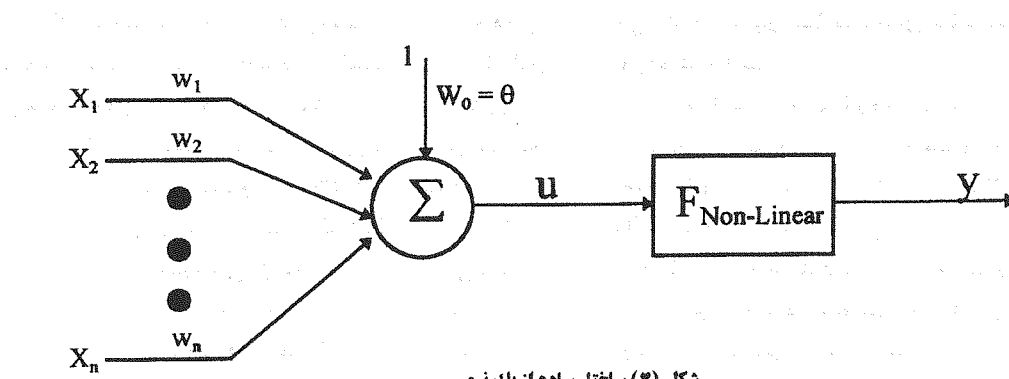
در مرجع [۸] از خاصیت بهینه سازی شبکه عصبی هاپفیلد [۶]، استفاده شده و امکان پذیری استفاده از آن به صورت حل مسئله هدایت دو بعدی موشک نشان داده شده است. در اینکار از فرآیند آموزش و یادگیری خبری نیست، بلکه مسئله تعقیب موشک به صورت مسئله کنترلی LQ (Linear Quadratic) مطرح گردیده و با مهارت استادانه به فرم شبکه هاپفیلد تبدیل شده است. نتیجه حاصل نشانگر آن است که شبکه به خوبی همگرا شده و حل بهینه مسئله کنترل غیرخطی را در هر لحظه محاسبه می نماید. اشکال این روش آن است که، حجم محاسبات برای همگرا شدن شبکه، زیاد می باشد.

مرجع [۹] از ساختار شبکه عصبی نقدپذیر تطبیقی که از برنامه ریزی پویا (Dynamic Programming) برای حل مسئله اصابت به هدف کم کرftه است، استفاده می کند. این ساختار شباهت زیادی به شبکه پس انتشار زمانی دارد. [۱۰]. حل به دست آمده از این ساختار به صورت حل حلقه بسته می باشد. این دیدگاه نیازی به آموزش داده ها ندارد. اشکالی که در این روش مشاهده

بکارگیری سخت افزاری آن نیز امکان پذیر است. انتخاب دقیق توابع تحریک در کاربردهای مختلف متغیر می باشد، اما معمولاً برای لایه ورودی تابع تحریک خطی و در لایه میانی تابع تحریک سیگموئید در نظر گرفته می شود.

ساختار عمومی یک نرون به طور ساده در شکل ۴ نشان داده شده است. ساده ترین نوع شبکه عصبی، هنگامی است که فقط یک لایه مخفی وجود داشته باشد. البته تعداد گره های لایه میانی محدودیتی ندارد، اما بهتر است که از حجم شدن شبکه جلوگیری شود و در حد امکان تعداد کمتری در لایه میانی انتخاب گردد (معمولأ تعداد گره ها در لایه میانی  $n+1$  مناسب است). پس از انتخاب تعداد گره های لایه میانی می بایست ماتریس وزن ها را به دست آورد.

فرمول ریاضی که برای به دست آوردن این وزن ها استفاده می شود، الگوریتم یادگیری نامیده می شود. قانون یادگیری معروف در این رابطه همان قانون (Back propagation algorithm) است [۷]. در این قانون که تحت قوانین یادگیری (Supervised training) با معلم قرار می گیرد خروجی های مطلوب از قبل مشخص می باشند. اگر تفاوت خروجی مطلوب با خروجی به دست آمده از شبکه را خطاب بنامیم، آنگاه برای به دست آوردن نگاشت صحیح (Mapping)، در طی فرآیند یادگیری، وزن های اتصالات طوری انتخاب می شوند که متوسط مجذور خطای خروجی برای تمامی ورودی ها، حداقل گردد. در این صورت یادگیری شبکه کامل شده است. هدف اصلی الگوریتم پس انتشار آن است که یک ابر سطح خطی تعریف شده و نقطه کمینه آن به دست آید. اینکار با گام برداشتن در جهت سرازیری در روی ابر سطح خطی و با استفاده از قاعده شبیه نزولی (Gradiant descent rule) انجام می پذیرد و در نهایت وزن های اتصالات بین گره ها به دست خواهد آمد.



شکل (۴) ساختار ساده از یک نرون.

می شود آن است که حد بالای انگرال تابع معیار یعنی  $\bar{V}_C = V_C / (V_M + V_T)$  معلوم فرض شده است. در صورتی که در مسائل واقعی تعقیب (علی الخصوص در مسائل کمترین زمان) این مقدار از قبل مشخص نیست.

## ۸- آموزش و بکارگیری شبکه عصبی به همراه مثال‌های حل شده

در این مقاله سناریوی تعقیب دو بعدی با استفاده از معادلات دیفرانسیل به دست آمده در (۴-۳) تا (۴-۵) شبیه سازی گردیده است. ورودی به شبیه سازی به صورت موقعیت اولیه موشک و هدف و سرعت های آنها می باشد. سپس معادلات دیفرانسیل به صورت عددی انگرال گیری می شوند و انگرال گیری هنگامی پایان می پذیرد که سرعت نسبی موشک و هدف تعییر علامت دهد ( $V_C < 0$ ) و یا فاصله نسبی کمتر از یک متر شود ( $r_f < 1.0 \text{ m}$ ). این بدان معنی است که فاصله بین موشک و هدف در کمترین مقدار ممکن می باشد. جهت آموزش شبکه عصبی، از دو سناریوی متفاوت که در یکی فرمان شتاب مثبت ( $a_n > 0$ ) و در دیگری فرمان شتاب منفی ( $a_n < 0$ ) باشد به صورت زیر استفاده گردید:

$$\theta_0 = 0^\circ, \beta_0 = 90^\circ$$

$$\theta_0 = 90^\circ, \beta_0 = 180^\circ$$

در هر دو سناریو  $X_0 = 10000\text{m}$ ,  $v = 0.5$ ,  $\alpha_n = 0.6$ ,  $\theta_0 = 80^\circ$ ,  $\beta_0 = 110^\circ$ ,  $a_n = 0.6$ ,  $X_f = 7500\text{m}$ . در هر دو سناریو انتخاب این سناریوها اختیاری بوده و هر سناریوی دیگری را می توان جهت آموزش استفاده نمود. البته پایستی سناریوی انتخاب شده تا حد امکان جامعیت داشته باشد تا شبکه بتواند در خارج از محدوده یادگیری هم خوب عمل کند. همچنین می توان جهت آموزش شبکه از تعداد سناریوی تعقیب بیشتری استفاده نمود. بدیهی است که هر چه تعداد اضافه شود، یادگیری هم بهتر خواهد بود. در اینجا سعی شده است که نشان داده شود با کمترین تعداد سناریو، قدرت شبکه در یادگیری بسیار خوب است. ورودی های شبکه همان انتخاب شده اند که در ناویری متناسب از آن استفاده می شود، چون اندازه گیری آنها در موشک امکان پذیر است. البته در اینجا نگاشت بین ورودی و خروجی به صورت متناسب نیست و این نگاشت به وسیله شبکه عصبی به دست می آید. از آنجایی که شبکه عصبی با تابع سیگموئید (که خروجی آن بین صفر و یک می باشد) نمی تواند تقریباً خوبی برای خارج از این محدوده باشد. از این رو متغیرهای اصلاح شده به صورت

می شود، چون دز محدوده بین صفر و یک قرار دارد. شبکه عصبی استفاده شده دارای ساختار ۱-۵-۲ می باشد، چون سیستم دارای دو متغیر ورودی  $\bar{V}_C$ ,  $\alpha_n$  و یک متغیر کنترل خروجی  $a_n$  می باشد.

جهت آموزش شبکه از الگوریتم پس انتشار خط استفاده شده است. یک لایه مخفی با پنج گره بین لایه ورودی و خروجی اضافه شده است. از دو سناریوی فوق تعداد ۶۵۹ بردار جهت آموزش شبکه انتخاب شدند (خطای یادگیری شبکه در انتقام آموزش RMS = 0.003 به دست آمد). بدیهی است که با افزایش تعداد سناریوها و یا بردارهای آموزشی نتایج بهتری به دست خواهد آمد. اکنون شبکه عصبی آموزش دیده جهت تولید همزمان  $\bar{V}_C$  توسط متغیرهای حالت  $\alpha_n$ ,  $\dot{\alpha}_n$  به کار گرفته می شود. حل بهینه عددی (OPTIMAL) و حل ناویری متناسب (PNG) و حل به دست آمده از شبکه عصبی (NNG) در شکل های ۵ و ۷ نشان داده شده است و کنترل  $a_n$  بر حسب زمان برای سه روش فوق به ترتیب در شکل های ۶ و ۸ مشاهده می گردد. ملاحظه می شود که مسیر و منحنی  $a_n$  در حل بهینه و حل شبکه عصبی به یکدیگر نزدیک می باشند. این موضوع قابل پیش بینی بود چون که شبکه با حل بهینه این دو سناریو آموزش دیده است. ولذا در همین سناریوهای جواب مطلوبی خواهد داد. اکنون سناریوی جدیدی که خارج از محدوده آموزش شبکه می باشد مورد بررسی قرار می گیرد. در این سناریو: شبکه عصبی می باشد مورد بررسی قرار می گیرد. در این سناریو:  $\theta_0 = 80^\circ, \beta_0 = 110^\circ, v = 0.6, X_0 = 7500\text{m}$

شکل های ۹ و ۱۰ مسیر و کنترل  $a_n$  در سه روش را نشان می دهد. آنچه از نمودارهای اخیر ملاحظه می شود آن است که علی رغم ساختار ساده استفاده شده در شبکه عصبی، جواب به دست آمده بسیار مطلوب می باشد. سایر اطلاعات برای مقایسه در جدول یک آورده شده است.

در سناریوی بعدی فرض می شود که اغتشاشاتی ثابت به صورت  $\alpha_n = 0.05$  به عملگر موشک (Actuator) اضافه شود. در شکل های ۱۱ و ۱۲ ملاحظه می شود که NNG به هدف اصابت می کند ولی ناویری متناسب منحرف شده و اصابت صورت نمی پذیرد. این موضوع مقاوم بودن شبکه عصبی در مقابل اغتشاشات و نویزهای خارجی را نشان می دهد. در شکل های ۱۳ تا

جدول (۱) مقایسه سه روش هدایتی مختلف

Scenario Inputs	Solution Method	$t_f$ (sec)	$r_f$ (m)	Index J ( $m^2/S^3$ )
$\theta_0 = 0^\circ, \beta_0 = 90^\circ$ $v = 0.5, X_0 = 10000m$	OPTIMAL	19.98	0.95	7843
	PNG	19.95	0.74	7872
	NNG	19.86	0.86	8123
$\theta_0 = 90^\circ, \beta_0 = 180^\circ$ $v = 0.5, X_0 = 10000m$	OPTIMAL	13.35	0.97	96175
	PNG	16.84	0.61	127130
	PNG	13.39	2.81	96230
$\theta_0 = 80^\circ, \beta_0 = 110^\circ$ $v = 0.6, X_0 = 7500m$	OPTIMAL	15.75	0.82	13458
	PNG	18.06	0.45	30176
	NNG	15.56	0.74	15255

### فهرست علائم انگلیسی

- $a_T$  = شتاب موشک عمود بر جهت سرعت ( $m/s^2$ )
- $A_T$  = شتاب هدف عمود بر جهت سرعت ( $m/s^2$ )
- $r$  = فاصله نسبی بین موشک و هدف (متر)
- $t$  = زمان (ثانیه)
- $V_C$  = سرعت نسبی موشک و هدف ( $m/s$ )
- $V_M$  = سرعت موشک ( $m/s$ )
- $V_T$  = سرعت هدف ( $m/s$ )
- $X, Y$  = مختصات اینرسی (m)

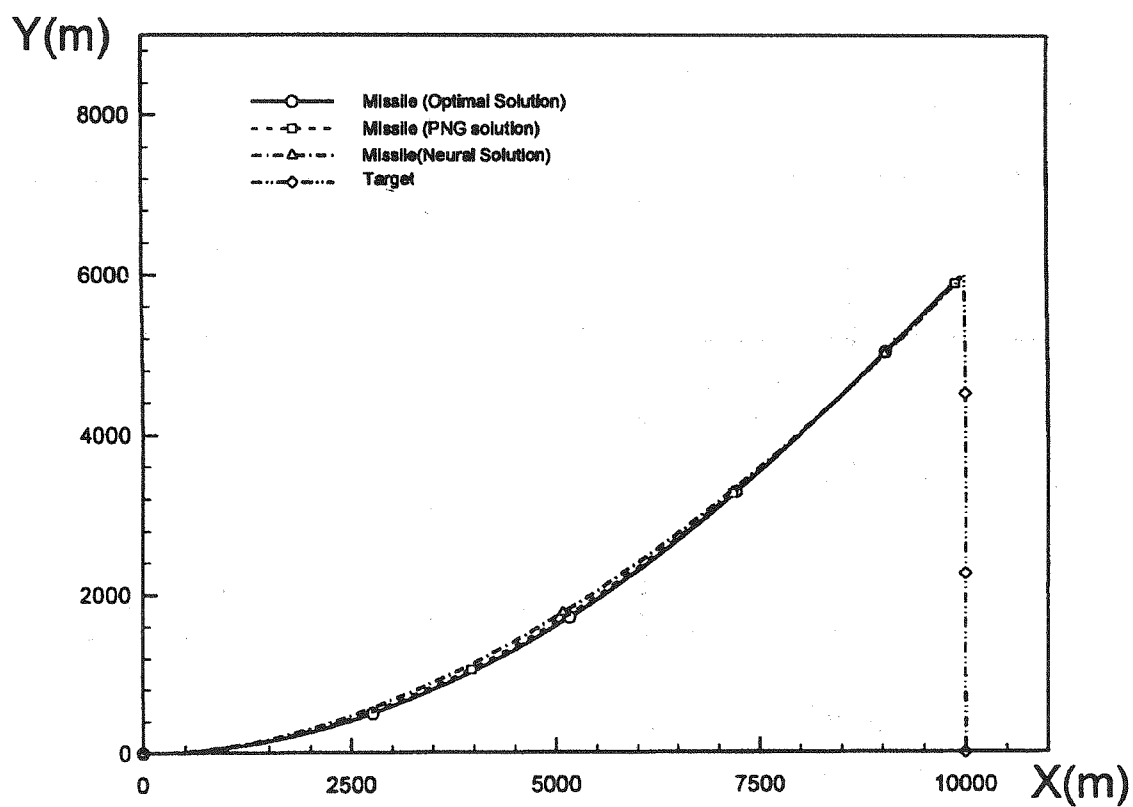
### فهرست علائم یونانی

- $\alpha_a$  = شتاب موشک عمود بر جهت سرعت به صورت بی بعد
- $\beta$  = زاویه بردار سرعت هدف با محور X (رادیان)
- $\theta$  = زاویه بردار سرعت موشک با محور X (رادیان)
- $\sigma$  = زاویه خط دید (رادیان)
- $\tau$  = نسبت سرعت هدف به موشک
- $\tau$  = زمان به صورت بی بعد
- $\lambda$ ,  $\gamma$  = ضرایب لاگرانژی برای معادلات حالت و قیود
- $\eta$  = مختصات نسبی بی بعد

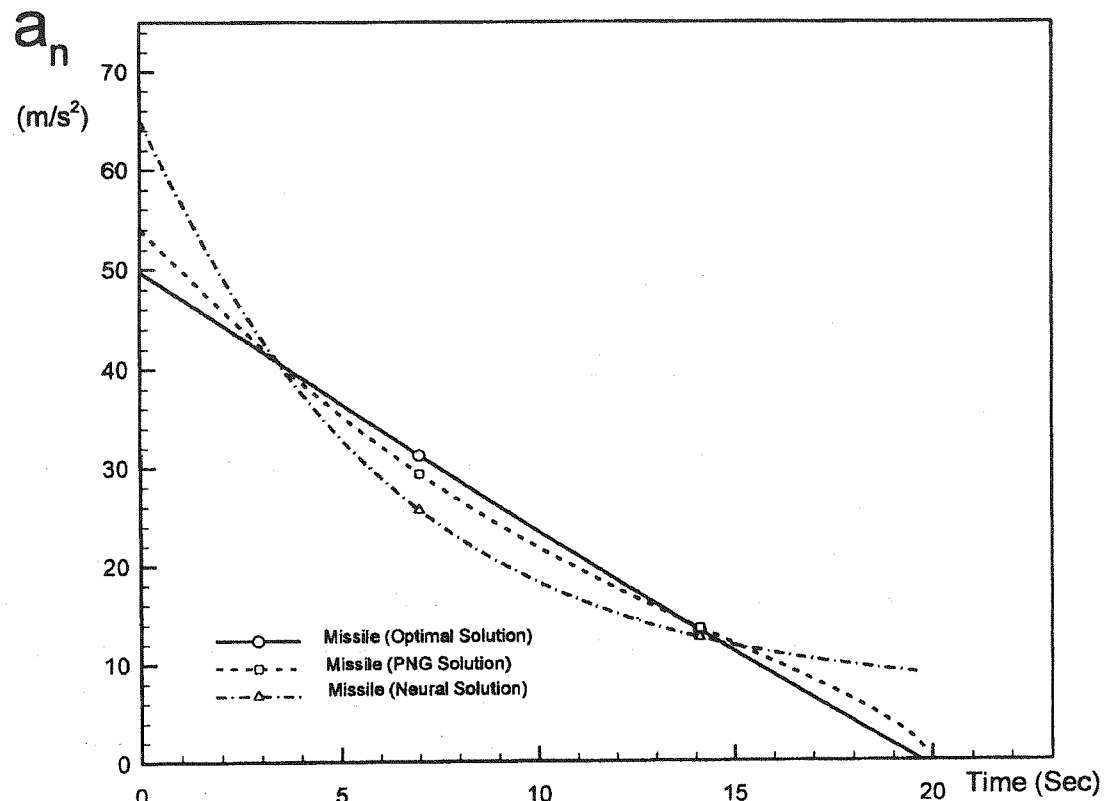
۱۴ از یک هدف مانوری با شتاب  $-2g$  استفاده شده است. ملاحظه می‌گردد که NNG به صورت یک قانون مؤثر هدایتی در مقابل اهداف مانوردار عمل می‌نماید. در شکل ۱۴ اصابت برای NNG امکان پذیر است. اما در موشکی که از ناوبری متناسب PNG استفاده می‌کند، هدف می‌گریزد.

### ۹-نتیجه‌گیری

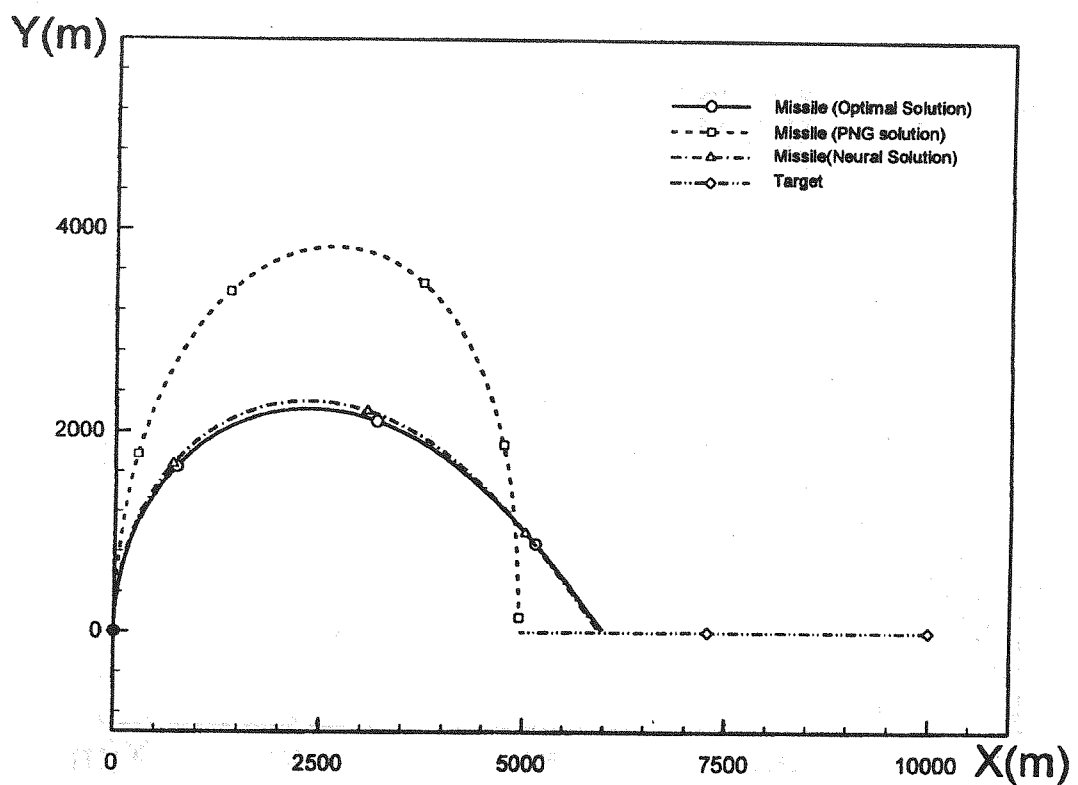
در این مقاله با کمک شبکه‌های عصبی مصنوعی، قانون بهینه حلقه بسته در تعقیب صفحه‌ای به دست آمده و از آن به صورت همزمان در موشک‌های آشیانه یا ب استفاده شده است. در این رابطه ابتدا معادلات کنترل حلقه باز به روش عددی حل شده و داده‌های حاصل جهت آموزش شبکه عصبی پیش خور چند لایه مورد استفاده قرار گرفته است. سپس شبکه به عنوان کنترل کننده بهینه حلقه بسته در سناریوی تعقیب به کار گرفته شده است. نتایج نشان می‌دهد که شبکه عصبی به خوبی قادر به تولید همزمان قانون حلقه بسته در موشک‌های آشیانه یا ب باشد. در اغلب سناریوهای آزمایش شده مسیرهای NNG و منحنی فرمان کنترل NNG نزدیک به مقادیر بهینه بوده و به خوبی می‌توان از در مسائل واقعی و به طور همزمان استفاده نمود.



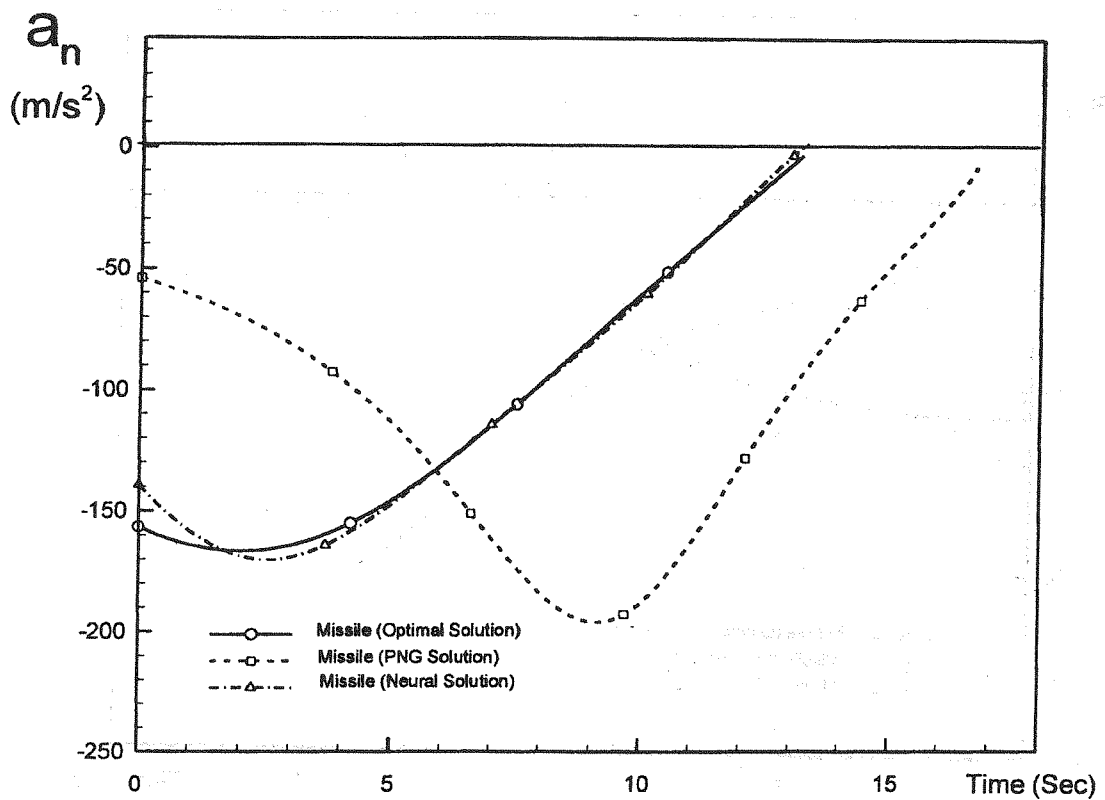
شكل (٤) منحنى مسیر (٢) (٠° , ٩٠° , ١٠٠٠٠م , ٦٠٠م/س , ٣٠٠م/س)



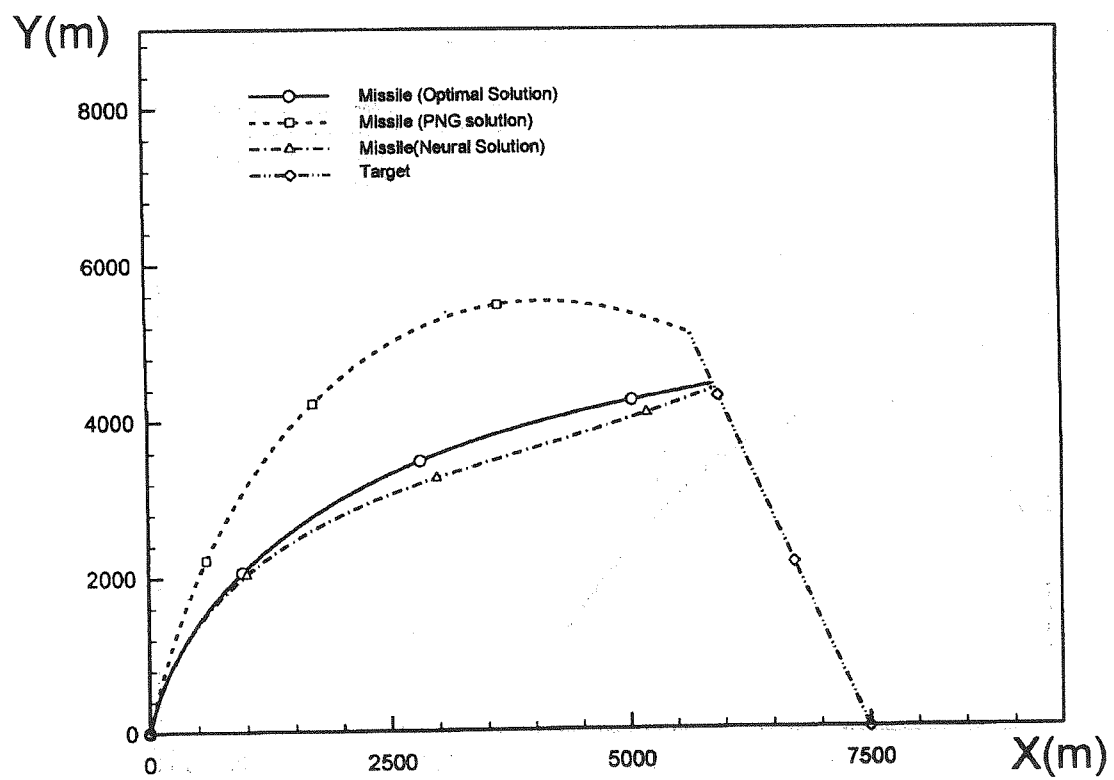
شكل (٥) منحنى شتاب (٠° , ٩٠° , ١٠٠٠٠م , ٦٠٠م/س , ٣٠٠م/س)



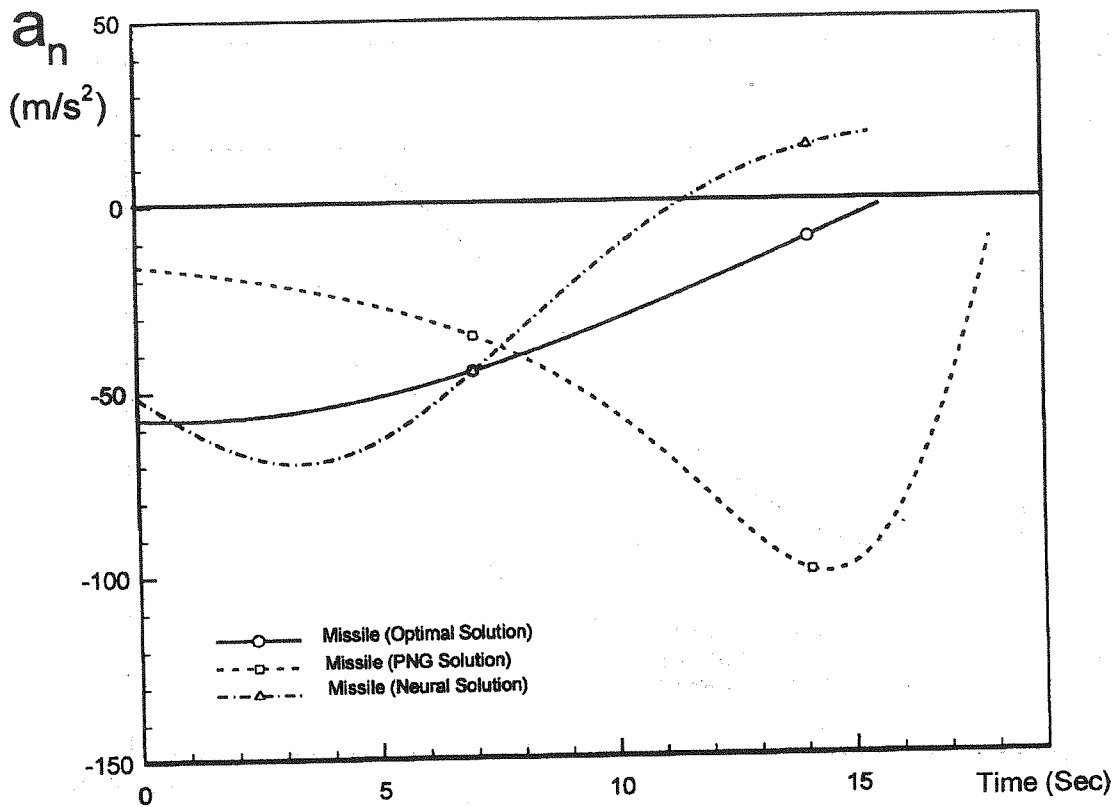
شکل (۷) منحنی مسیر ( $\theta_0 = 90^\circ$ ,  $\beta_0 = 180^\circ$ ,  $X_0 = 10000\text{m}$ ,  $V_M = 600\text{m/s}$ ,  $V_T = 300\text{m/s}$ )



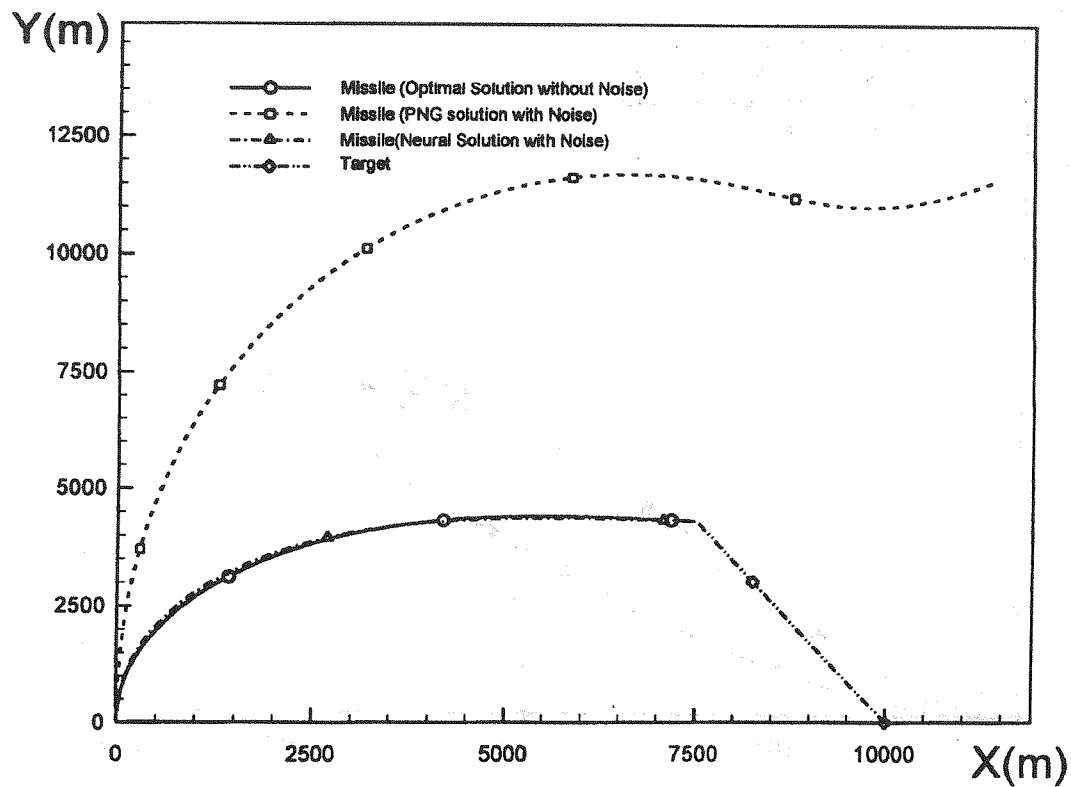
شکل (۸) منحنی شتاب ( $\theta_0 = 90^\circ$ ,  $\beta_0 = 180^\circ$ ,  $X_0 = 10000\text{m}$ ,  $V_M = 600\text{m/s}$ ,  $V_T = 300\text{m/s}$ )



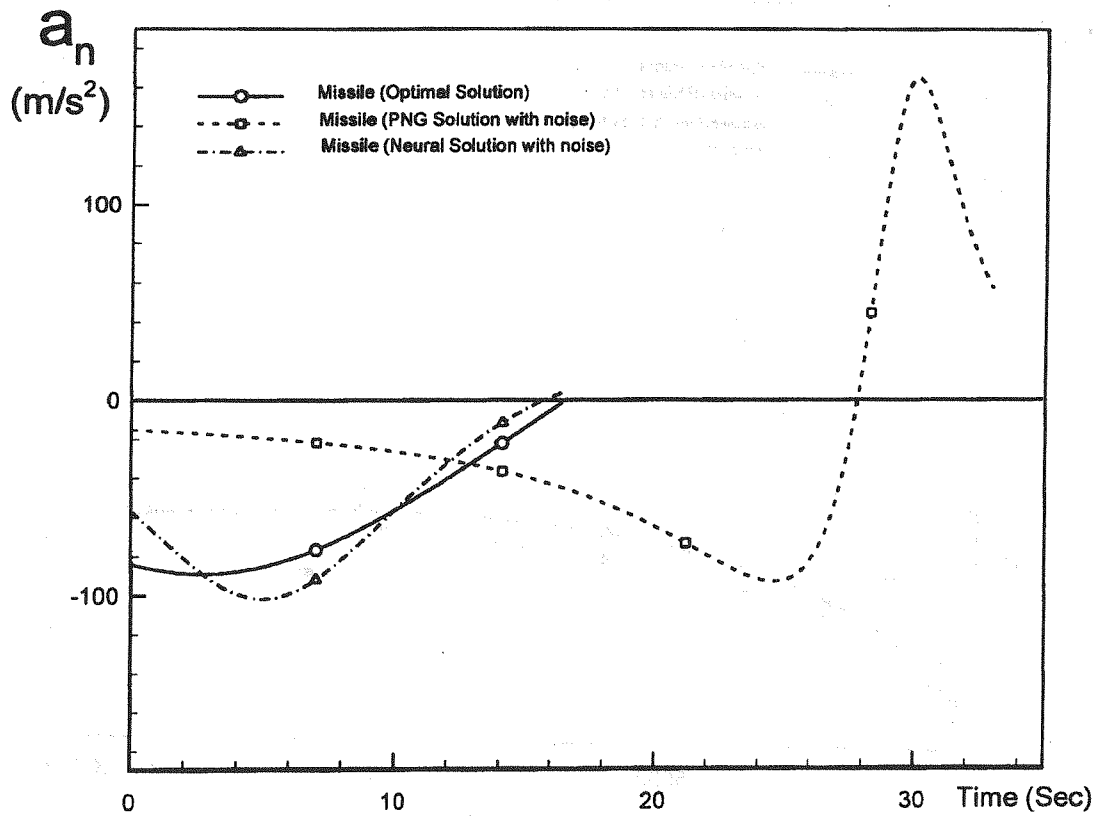
شكل (٩) منحنى مسیر ( $\theta_0 = 80^\circ$ ,  $\beta_0 = 110^\circ$ ,  $X_0 = 7500\text{m}$ ,  $V_M = 500\text{m/s}$ ,  $V_T = 300\text{m/s}$ )



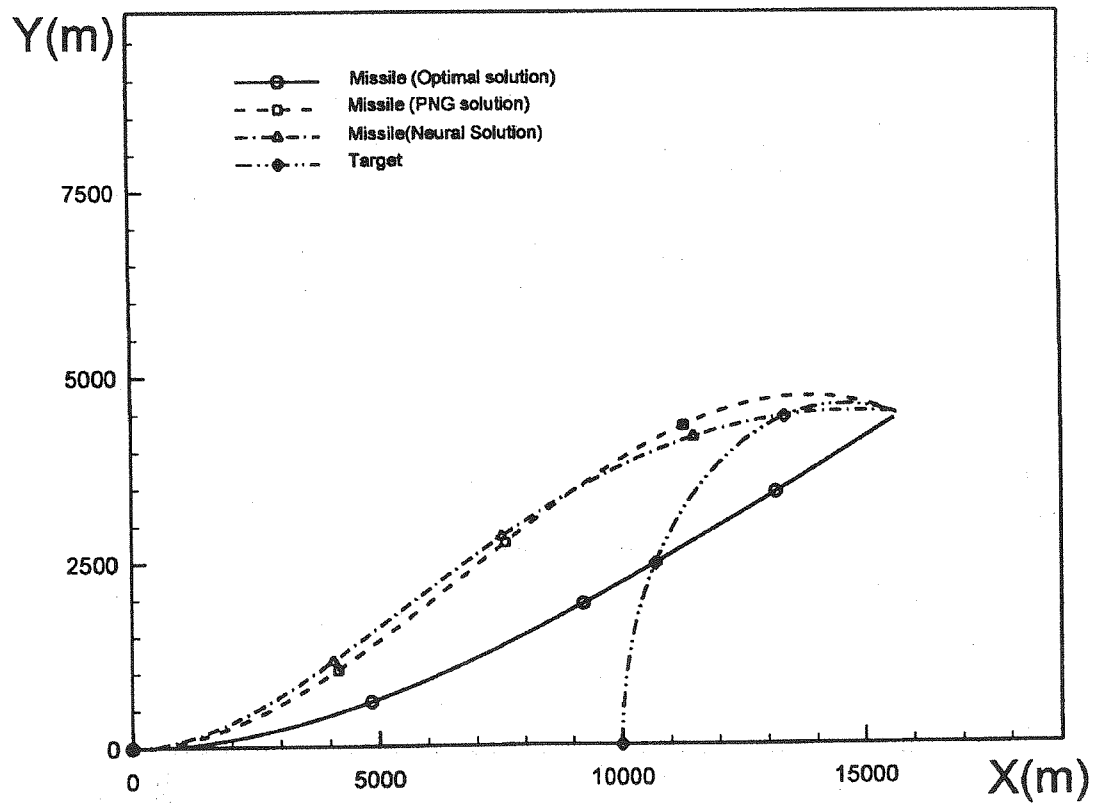
شكل (١٠) منحنى شتاب ( $\theta_0 = 80^\circ$ ,  $\beta_0 = 110^\circ$ ,  $X_0 = 7500\text{m}$ ,  $V_M = 500\text{m/s}$ ,  $V_T = 300\text{m/s}$ )



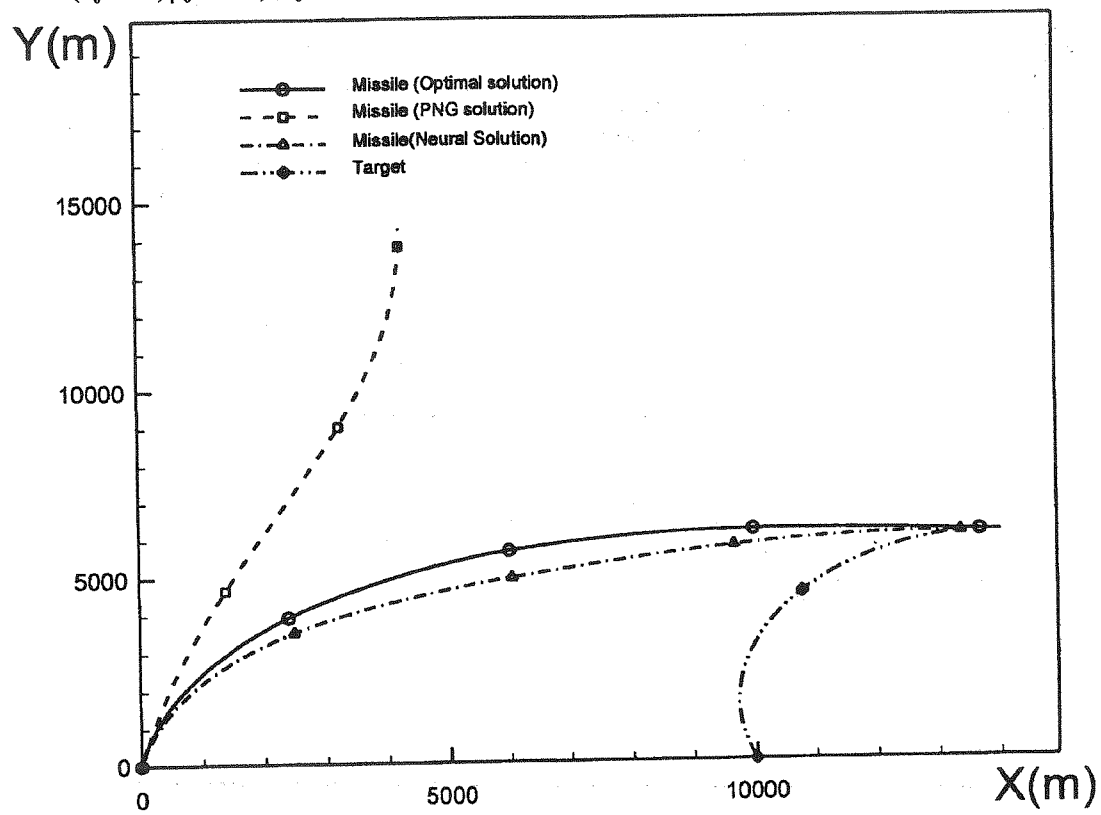
شکل (۱۱) منحنی مسیر میگنی مسیر  $a_n = \text{noisy}$



شکل (۱۲) منحنی شتاب  $a_n = \text{noisy}$



شکل (۱۳) منحنی مسیر ( $\theta_0 = 0^\circ$ ,  $\beta_0 = 90^\circ$ ,  $X_0 = 10000\text{m}$ ,  $V_M = 600\text{m/s}$ ,  $V_T = 300\text{m/s}$ ,  $A_T = -2g$ )



شکل (۱۴) منحنی مسیر ( $\theta_0 = 0^\circ$ ,  $\beta_0 = 90^\circ$ ,  $X_0 = 10000\text{m}$ ,  $V_M = 600\text{m/s}$ ,  $V_T = 300\text{m/s}$ ,  $A_T = -2g$ )

## مراجع

- [1] Jennings, L. S., Fisher, M. E., Teo, K. L., and Goh, C. J., MISER Optimal Control Software: Theory and User Manual, Version 1.0, EMC OSS Pty. Ltd., Perth, Australia, 1990.
- [2] Bryson, A., E. Ho, Y. C., Applied Optimal control, Halsted Press, Washington, DC, 1975.
- [3] Kirk, D. E. Optimal Control Theory, Englewood Cliffs, NJ: Prentice - Hall, 1970.
- [4] Zarchan, P., Tactical and Strategic Missile Guidance, Vol. 124, Progress in Astronautics and Aeronautics, AIAA, Washington, DC, 1994.
- [5] Lippmann, R. P. "An Introduction to Computing with Neural Nets," IEEE Transactions on Acoustics, Speech, and Signal Processing (Apr. 1987), 4 - 22.
- [6] Hopfield, J. "Neural Networks and Physical Systems with Emergent Collective Computational Abilities." In Proceedings of the National Academy of Science U.S.A., 79. (1982). 2554 - 2558.
- [7] Rumelhart, D. E. and J. L. McClelland. 1986. Parallel Distributed Processing, Vols. 1 & 2 . Cambridge, Mass, MIT Press.
- [8] Steck, J. E., Balakrishnan, S. N., "Use of Hopfield Neural Networks in Optimal Guidance," IEEE Transactions on Aerospace and Electronic Systems, Vol. 30, No. 1, Jan. 1994, pp. 287 - 293.
- [9] Balakrishnan, S. N., Biega, Victor., "New Neural Architecture for Homing Missile Guidance," Proceedings of the American Control Conference V. 3, 1995, p 2148 - 2152.
- [10] Bersini, H. and Gorri, V. "A Simplification of the Backpropagation-Through - Time Algorithm for Optimal Neurocontrol," IEEE Transactions on Neural Networks, Vol. 8, No. 2., pp 437 - 441, March 1997.